



# یک تکنیک مدولاسیون جایگزین برای مدولاسیون SVM متداول: کاهش حجم محاسبات

محمد توسلی<sup>۱</sup>، محمد توکلی بینا<sup>۲</sup>، مسعود علی اکبر گلکار<sup>۳</sup>

<sup>۱</sup> فارغ‌التحصیل کارشناسی ارشد مهندسی برق، گروه قدرت، دانشگاه صنعتی خواجه نصیر الدین طوسی، tavasoli@ee.kntu.ac.ir

<sup>۲</sup> دانشیار، دانشکده مهندسی برق، گروه قدرت، دانشگاه صنعتی خواجه نصیر الدین طوسی، tavakoli\_bina@ieee.org

<sup>۳</sup> استاد، دانشکده مهندسی برق، گروه قدرت، دانشگاه صنعتی خواجه نصیر الدین طوسی، golkar@eetd.kntu.ac.ir

(تاریخ دریافت مقاله ۱۳۹۰/۴/۵، تاریخ پذیرش مقاله ۱۳۹۰/۶/۲۷)

**چکیده:** یک تکنیک مدولاسیون شناخته شده برای مبدل های قدرت با توان متوسط و ولتاژ بالا می باشد. باید توجه داشت که تمام فرآیند مدولاسیون برای هدف پیاده سازی می تواند زمان بر باشد که علت آن یافتن موقعیت بردار مرجع به علاوه اجرای محاسبات ضروری برای مدولاسیون می باشد. علاوه بر آن با افزایش تعداد سطوح در مبدل های چند سطحی، زمان این محاسبات برای SVM های متداول افزایش می یابد. این مقاله یک تکنیک مدولاسیون را که بر روی دو ولتاژ خط مستقل، متتمرکز می شود، معرفی می کند به نحوی که به طور مستقیم از ولتاژهای خط در فرآیند یافتن بردارهای سوئیچینگ و نسبت وظیفه های آنها استفاده می کند. مدولاسیون پیشنهادی نه تنها سریع و ساده می باشد بلکه به فرآیند جایابی بردار مرجع که برای مدولاسیون SVM متداول دارای نقش حیاتی است، احتیاجی ندارد. با ارائه دو مثال صحت روش ارائه شده با استفاده از نرم افزار MATLAB مورد بررسی قرار می گیرد.

**کلمات کلیدی:** مدولاسیون SVM، تکنیک جایابی بردار مرجع، مدولاسیون تک فاز، مدولاسیون چند سطحی

## A Comprehensive Alternative for the Conventional SVM: Reduction Computation Cost

**Mohammad Tavasoli, Mohammad Tavakoli Bina, Masoud Ali Akbar Golkar**

**Abstract:** The SVM is the well known technique for power converters with medium power and high voltage. However, the whole modulating procedure could be time-consuming for implementation purposes because of seeking the location of the reference vector in addition to performing so many necessary computations. Furthermore, computational cost for conventional SVM rises when level numbers of the multilevel converters increases. This paper proposes a modulation technique that directly concentrates on a three-phase system, engaging two independent line voltages in the procedure of finding switching states and their duty ratios. Interestingly, the proposed method is not only simple and fast, but also nearly eliminates the procedure of positioning the reference vector for multilevel converters that is vital for the conventional SVM. Through examples and simulations, the validity of the proposed method in modulation process is demonstrated.

**Keywords:** SVM modulation, positioning technique of reference vector, single-phase modulation, multilevel modulatio

مبدل های چند سطحی مزایای قابل توجهی در کاربردهای توان متوسط و ولتاژ بالا دارند<sup>[۱]</sup>. در مقایسه با ادوات دو سطحی، از اتصالات سری

- مقدمه ۱

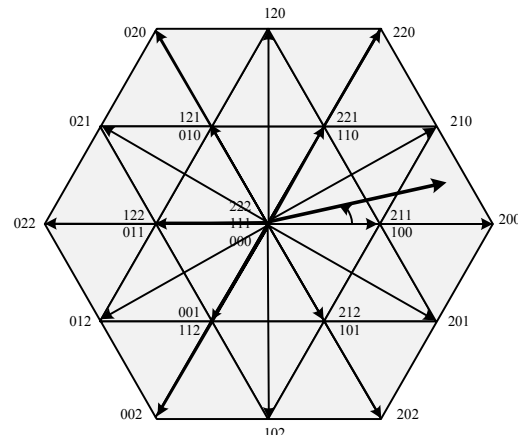
سیگنال مرجع می باشد. این روش به علت حجم کم محاسبات، برای پیاده سازی، ساده و سریع می باشد. به علاوه سه ۱DM مستقل در [۶] برای پیاده سازی یک تکنیک مدولاسیون سه فاز سریع و ساده برای مبدل های چند سطحی بکار گرفته شده است.

با این حال در روش ارائه شده در [۶] می توان نشان داد که حداقل ولتاژ سمت DC به منظور تولید ولتاژ مرجع در سمت AC نسبت به تکنیک SVM متداول بیشتر است. این سطح ولتاژ بیشتر در سمت DC به نوبه خود باعث افزایش THD تکنیک مدولاسیون می شود. به علاوه این روش، ایده ای برای تولید بردارهای افزوده ارائه نمی کند.

یک الگوریتم SVM سریع در [۷] پیشنهاد شده که برخلاف روش های گفته شده به جای استفاده از ولتاژ های فاز برای تولید سیگنال های مرجع سه فاز از ولتاژهای خط مرجع به طور مستقیم برای دستیابی به بردارهای سوئیچینگ استفاده می کند. در این الگوریتم ولتاژ های خط با استفاده از یک تبدیل ماتریسی تبدیل به بردار ولتاژ  $v_{ref(g,h)}$  می شوند. سپس با استفاده از مولفه های بردار  $v_{ref(g,h)}$  و جزء صحیح آنها، بردارهای سوئیچینگ مجاور بردار مرجع و نسبت وظیفه آنها محاسبه می شوند. مشکل عدمه این روش این است که از دنباله بردارهای سوئیچینگ غیر بهینه استفاده می کند [۸].

این مقاله، روشی برای حذف جایابی بردار مرجع در مدولاسیون SVM و دسترسی مستقیم به بردارهای سوئیچینگ و نسبت وظیفه آنها پیشنهاد می کند به طوری که نتایج روش ارائه شده منطبق بر نتایج روش SVM متداول می باشد.

سوئیچ ها پرهیز می شود و کیفیت ولتاژ خروجی بهبود می یابد. در این رابطه پیچیدگی استراتژی مدولاسیون و نیز تعداد سوئیچ ها در این مبدل ها افزایش یافته است [۲]. روش متداول در پیاده سازی PWM دیجیتالی، تکنیک SVM است. SVM متداول از تبدیل موسوم به  $\alpha\beta$  برای پیاده سازی یک ولتاژ مرجع در سمت AC مبدل های الکترونیک قادر استفاده می کند. بردارهای سوئیچینگ و بردار مرجع انتقال یافته برای یافتن نسبت وظیفه ها به منظور ساخت بردار مرجع مقایسه می شوند. شکل ۱ دیاگرام یک SVM سه سطحی را نشان می دهد که شامل ۵ بردار حالت فعال، دو بردار افزوده و سه بردار سه صفر برای هر یک ششم می باشد. بردار ولتاژ مرجع به وسیله این بردارهای سوئیچینگ (حالات های سوئیچینگ) قابل تحلیل می باشد.



شکل ۱: نمایش SVM سه سطحی

باید توجه داشت که تمام فرآیند مدولاسیون برای هدف پیاده سازی می تواند زمان بر باشد که علت آن یافتن موقعیت بردار مرجع به علاوه اجرای محاسبات ضروری برای مدولاسیون، محدودیت های مدولاتور از جهت ماکریم پهنهای باند کنترلر و فرکانس سوئیچینگ می باشد. علاوه بر آن با افزایش تعداد سطوح در مبدل های چند سطحی، زمان محاسبات در SVM متداول افزایش می یابد. به هر حال کاهش در زمان پروسه مدولاتور باعث بهره برداری بهتر از مزیت های مبدل چند سطحی می شود [۳][۴]. با کاهش زمان محاسبات مدولاسیون، می توان زمان نمونه برداری را کاهش و کیفیت ولتاژ خروجی را افزایش داد.

یک تکنیک جایابی سریع اما پیچیده در [۳] برای یافتن موقعیت بردار مرجع در میان مثلث های موجود در داخل دیاگرام SVM معرفی شده است. این مقاله برای یک مبدل  $n$  سطحی، یک ماتریس مخلوط  $(n-1)^2 \times 1$  به منظور جایابی انتهایی بردار مرجع پیشنهاد می کند، به طوری که شماره سطحی از ماتریس مخلوط که دارای قسمت حقیقی و موهومی منفی باشد، برابر شماره مثلث مورد نظر در فضای SVM است. در [۵] مدولاتور تک فاز ۱DM که می تواند در مبدل های چند سطحی تک فاز به کار گرفته شود، استفاده شده است. این روش بر مبنای متوسط گیری از نزدیکترین سطوح ولتاژ به ولتاژ مرجع برای تولید

## ۲- تکنیک مدولاسیون پیشنهادی

برخلاف روش SVM متداول، روش پیشنهادی به دنبال پیاده سازی ولتاژهای خط مستقل در سمت AC مبدل است که دارای کارکردی معادل روش SVM متداول می باشد. برای پیاده سازی روش ارائه شده ابتدا بردار مرجع خط مبدل تولید می شود، سپس با استفاده از این بردار، بردارهای سوئیچینگ مجاور بردار مرجع در فضای روش ارائه شده تعیین می شوند و نسبت وظیفه بردارها با توجه به رابطه ولت-ثانیه بدست می آیند. روش پیشنهادی با دنبال کردن ۴ گام در ادامه آورده شده است.

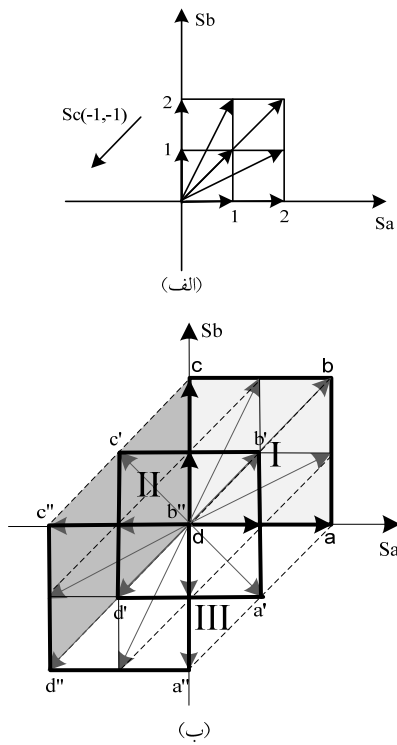
### گام ۱) تولید بردار مرجع

شکل ۲ یک مبدل Diode Clamp سه سطحی را نشان می دهد. با توجه به این شکل، می توان ولتاژهای خط  $E_{bc}$  و  $E_{ac}$ ، تولید شده در سمت AC را بر حسب تابع سوئیچینگ فازها، برای یک مبدل N سطحی به صورت رابطه (۱) بیان کرد.

دیاگرام شش ضلعی نامنظم LVV که معادل نمودار شش ضلعی منتظم SVM متداول می‌باشد، با استفاده از روش عنوان شده، بدست آمد. باید توجه داشت که می‌توان یک تناظر یک به یک بین اجزاء این دو دیاگرام برقرار کرد.

$$\frac{2}{v_{dc}} \begin{bmatrix} 1 & 0 & -1 \\ 0 & 1 & -1 \\ 0 & 1 & -1 \end{bmatrix} \begin{bmatrix} E_a \\ E_b \\ E_c \end{bmatrix} = \begin{bmatrix} S_a \\ S_b \\ S_c \end{bmatrix} \quad (3)$$

در شکل ۴ وضعیت‌های سوئیچینگ مربوط به یک مبدل چهار سطحی با تعمیم روش ارائه شده، رسم شده است.

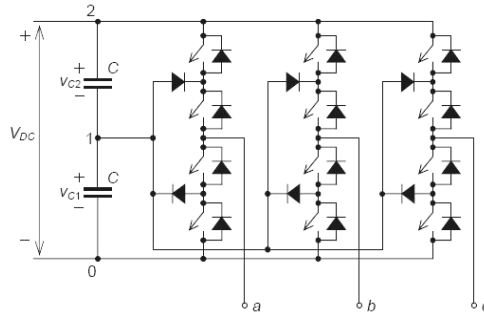


شکل ۴: تعیین فضای حالت های سوئیچینگ (الف) مکان هندسی حالت های سوئیچینگ ( $S_a, S_b$ ) (ب) مکان هندسی حالت های سوئیچینگ ( $S_a, S_b, S_c$ ) در فضای دو بعدی

**گام ۳) تشخیص ناحیه مربوط به بردار مرجع**  
شکل ۳-ب به سه ناحیه I و II و III تقسیم شده است، به طوری که هر ناحیه به وسیله شرایط جدول ۱ تعیین می‌شود. با توجه به جدول ۱ و معادله (۲) مشخص می‌شود که اندیس متنبیرهای روابط مربوط به نواحی، به صورت دوره‌ای تکرار می‌شوند، این بدین معناست که می‌توان معادلات و بردارها را تنها در یک ناحیه مشخص کرد و با استفاده از یک تبدیل دوره‌ای به سایر نواحی تعمیم داد. از این رو، محاسبات

$$\begin{bmatrix} E_{ac} \\ E_{bc} \end{bmatrix} = \begin{bmatrix} E_a - E_c \\ E_b - E_c \end{bmatrix} = \frac{v_{dc}}{N-1} \begin{bmatrix} S_a - S_c \\ S_b - S_c \end{bmatrix} = \frac{v_{dc}}{N-1} \begin{bmatrix} S_{ac} \\ S_{bc} \end{bmatrix} \quad s_x = \{0, 1, \dots, N-1\} \quad x = a, b, c \quad (1)$$

در معادله (۱)  $v_{dc}$  مجموع ولتاژ خازن‌های سمت DC می‌باشد که ولتاژ هر کدام  $\frac{v_{dc}}{N-1}$  فرض شده است. با توجه به شکل ۲ منظور از نسبت دادن اعداد  $0, 1, \dots, N-1$  به تابع سوئیچینگ هر فاز، اتصال خروجی هر فاز به گره متناظر با آن عدد می‌باشد.



شکل ۲: مبدل چهار سطحی Diode Clamp

در ادامه برای توضیح روش پیشنهادی، N را برابر ۳ در نظر می‌گیریم در این صورت  $s_x = \{0, 1, 2\}$  خواهد بود. برای نمایش بردارهای سوئیچینگ در این حالت، معادله (۱) را به صورت معادله (۲) بازنویسی می‌شود.

$$\frac{2}{v_{dc}} \begin{bmatrix} E_a - E_c \\ E_b - E_c \end{bmatrix} = \begin{bmatrix} S_a \\ S_b \end{bmatrix} - S_c \begin{bmatrix} 1 \\ 1 \end{bmatrix} \quad (2)$$

## گام ۲) تولید فضای LVV

برای پیاده‌سازی ولتاژ مرجع در سمت AC با استفاده از حالت‌های سوئیچینگ، ابتدا باید فضای برداری را که می‌توان با استفاده از رابطه (۲) در نظر گرفت، تحلیل کنیم. بدین منظور ابتدا مکان هندسی نقاط

با توجه حوزه مقادیر توابع سوئیچینگ  $S_a$  و  $S_b$  در نظر گرفته شده که به صورت یک مربع می‌باشد و در شکل ۳-الف آورده شده است. سپس این نقاط را با بردار  $S_c \begin{bmatrix} -1 \\ -1 \end{bmatrix}$  در صفحه منتقل می‌کنیم. دو مربع 'a'b'c'd' و 'a''b''c''d'' در شکل ۳-ب، نمایش انتقال

مکان هندسی نقاط  $\begin{bmatrix} S_a \\ S_b \end{bmatrix}$  می‌باشد. شکل حاصل نمایش فضای برداری ولتاژ‌های خط مبدل (LVV) با در نظر گرفتن حالت‌های سوئیچینگ فازها می‌باشد. بردارهای سوئیچینگ فضای LVV متناظر با بردارهای فضای SVM متداول می‌باشند، علت این امر آن است که روش پیشنهادی همانند روش متداول SVM از یک نگاشت خطی استفاده می‌کند که در معادله (۳) آورده شده است. بدین ترتیب

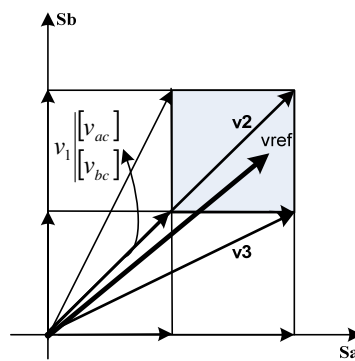
$$\begin{aligned} \frac{2}{v_{dc}} \begin{bmatrix} E_{a,ref} - E_{c,ref} \\ E_{b,ref} - E_{c,ref} \end{bmatrix} &= \begin{bmatrix} S_{ac1} \\ S_{bc1} \end{bmatrix} D_1 \\ + \begin{bmatrix} S_{ac2} \\ S_{bc2} \end{bmatrix} D_2 + \begin{bmatrix} S_{ac3} \\ S_{bc3} \end{bmatrix} D_3 &= v_1 D_1 + v_2 D_2 + v_3 D_3 \quad (4) \\ \begin{bmatrix} S_{ac} \\ S_{bc} \end{bmatrix} &= \begin{bmatrix} S_a - S_c \\ S_b - S_c \end{bmatrix} \quad D_i = \frac{T_i}{T_s}; i=1,2,3 \end{aligned}$$

در رابطه (۴)،  $D_i$  نسبت وظیفه بردار سوئیچینگ  $v_i$  می باشد. متغیرهای

$v_{bc}$  و  $v_{ac}$  نیز به صورت زیر تعریف می شوند.

$$\begin{bmatrix} v_{ac} \\ v_{bc} \end{bmatrix} = \frac{2}{v_{dc}} \begin{bmatrix} E_{a,ref} - E_{c,ref} \\ E_{b,ref} - E_{c,ref} \end{bmatrix} \quad (5)$$

اگر بردار مرجع در ناحیه I فرض شود، نوک این بردار در یک مربع کوچکتر، محصور می شود که در شکل ۵ به صورت سایه دار نشان داده شده است. معادله (۶) مختصات نقاط انتهایی قطر اصلی مربع کوچکتر را که متناظر با بردارهای سوئیچینگ می باشند، بیان می کند. [x] نماد جزء صحیح x می باشد)



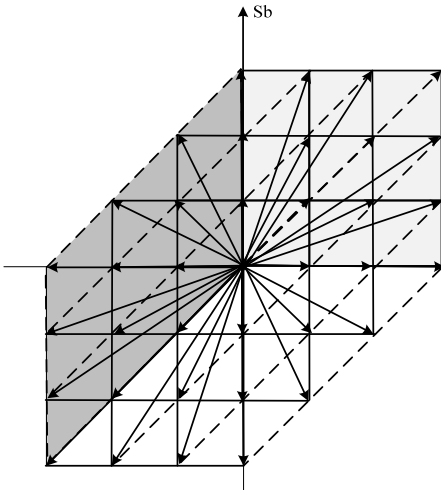
شکل ۵: نمایش بردار مرجع در ناحیه I به همراه بردارهای سوئیچینگ مجاور و نسبت وظیفه های آنها

$$v_1 = \frac{\lceil v_{ac} \rceil}{\lceil v_{bc} \rceil} \quad v_2 = \frac{\lceil v_{ac} \rceil + 1}{\lceil v_{bc} \rceil + 1} \quad (6)$$

باید توجه کرد که برای ساخت بردار مرجع از بردارهای مجاور و نزدیکتر استفاده می شود. به منظور یافتن بردار سوم، با استفاده متغیر Sign موقعيت بردار مرجع نسبت به قطر اصلی مربع مشخص می شود. در معادله (۸) به کمک این متغیر، مختصات بردار سوئیچینگ سوم آورده شده است. با استفاده از بردارهای سوئیچینگ محاسبه شده و رابطه ولت-ثانیه، در معادله (۹) نسبت های وظیفه بردارهای سوئیچینگ محاسبه می شوند.

$$sign = v_{ac} - \lceil v_{ac} \rceil - (v_{bc} - \lceil v_{bc} \rceil) \quad (7)$$

تماماً در ناحیه I انجام می شوند و در آخر به ناحیه اولیه خود منتقل می شوند. این تبدیلات دوره ای در جدول ۲ آمده است.



شکل ۶: فضای LVV چهار سطحی

جدول ۱: شرایط مرزهای هر ناحیه

ناحیه	شرایط	
I	$E_{ac} \geq 0$	$E_{bc} \geq 0$
II	$E_{ba} \geq 0$	$E_{ca} \geq 0$
III	$E_{cb} \geq 0$	$E_{ab} \geq 0$

جدول ۲: تبدیلات دوره ای مربوط به تبدیل نواحی II و III به ناحیه I

ناحیه	تبدیل		
II	$a \rightarrow c$	$b \rightarrow a$	$c \rightarrow b$
III	$a \rightarrow b$	$b \rightarrow c$	$c \rightarrow a$

در ادامه فرض می شود بردار مرجع در ناحیه I قرار دارد. پس از انجام محاسبات، باید از تبدیلات معکوس جدول ۳ برای تصحیح مولفه های بردارهای سوئیچینگ، استفاده کرد.

جدول ۳: تبدیلات دوره ای معکوس

ناحیه	تبدیلات معکوس		
II	$a \rightarrow b$	$b \rightarrow c$	$c \rightarrow a$
III	$a \rightarrow c$	$b \rightarrow a$	$c \rightarrow b$

#### گام ۴) محاسبه بردارهای سوئیچینگ و نسبت وظیفه آنها

برای پیاده سازی ولتاژ مرجع از معادله (۴) که بیان کننده برابری ولت-ثانیه سیگنال های سمت DC و AC مبدل است، استفاده می شود. برای برقراری این رابطه، همانند روش SVM از سه بردار سوئیچینگ مجاور بردار مرجع استفاده شده است.

$$\begin{bmatrix} 2 \\ 2 \\ 1 \end{bmatrix} \text{ یا } \begin{bmatrix} 1 \\ 1 \\ 0 \end{bmatrix} \text{ باشد. با مقایسه شکل}$$

های ۲ و ۳-ب می‌توان بردارهای افزوده متناظر با هر بردار را در نمودار

در LVV دست یافت. با توجه به مختصات بردارهای توابع سوئیچینگ در شکل ۲، مشخص می‌شود که با اضافه کردن اعداد صحیح در محدوده مجاز به مولفه های بردار  $S_{abc}$  که در معادله (۱۰) معرفی شده‌اند، می‌توان به سایر بردارهای افزوده متناظر با آن بردارها دست یافت. در معادله (۱۱) بردار F به منظور محاسبه محدوده مجاز برای اضافه کردن اعداد صحیح به بردار  $S_{abc}$  به منظور بدست آوردن بردارهای افزوده مربوط یک بردار سوئیچینگ تعریف شده است.

$$F = \begin{bmatrix} F_1 \\ F_2 \end{bmatrix} = \begin{bmatrix} N - 1 - [v_{ac}] \\ N - 1 - [v_{bc}] \end{bmatrix} \quad (11)$$

$$F_{\min} = \min\{F_1, F_2\} \quad k \in \{0, 1, \dots, F_{\min}\}$$

$$S_{abc, \text{Redundant}} = S_{abc} + k \begin{bmatrix} 1 \\ 1 \\ 1 \end{bmatrix} \quad (12)$$

به وسیله مولفه های پارامتر F می‌توان حداکثر مقداری را که می‌توان به مولفه های بردار  $S_{abc}$  به منظور محاسبه بردارهای افزوده اضافه کرد، بدست آورد.

#### ۴- نتایج شبیه سازی

با استفاده از شبیه ساز MATLAB، روش پیشنهادی برای تولید یک سه فاز متعادل در خروجی مبدل های سه سطحی و پنج سطحی با فرکانس مدولاتور ۱/۵kHz، فرکانس ۵۰Hz و اندیس مدولاسیون ۰/۹۵ بکار

گرفته می‌شود. شکل ۶ نمودار متغیرهای  $\begin{bmatrix} v_{ac} \\ v_{bc} \end{bmatrix}$  که در معادله (۱۳) معرفی شده، در فضای LVV نشان می‌دهد.

$$\begin{bmatrix} v_{ac} \\ v_{bc} \end{bmatrix} = \frac{2v_m}{v_{dc}} \begin{bmatrix} \cos(\omega_0 t) - \cos(\omega_0 t + \frac{2\pi}{3}) \\ \cos(\omega_0 t - \frac{2\pi}{3}) - \cos(\omega_0 t + \frac{2\pi}{3}) \end{bmatrix} \quad (13)$$

$$v_m = 0.95 \times 220 = 209(v)$$

مشاهده می‌شود که در این فضا مکان هندسی بردار مرجع سه فاز متعادل در یک سیکل منبع، به صورت یکسان است، در صورتی که با استفاده از تبدیل  $\alpha\beta$  مکان هندسی سه فاز متعادل به شکل یک دایره می‌باشد. این تفاوت به علت استفاده از نگاشت های متفاوت است.

$$v_3 = \begin{cases} [v_{ac}] + 1 & \text{if } Sign \geq 0 \\ [v_{bc}] & \\ [v_{ac}] & \\ [v_{bc}] + 1 & \text{if } Sign < 0 \end{cases} \quad (14)$$

$$\begin{cases} D_1 = 1 - (v_{ac} - [v_{ac}]) & \text{if } Sign \geq 0 \\ D_2 = v_{bc} - [v_{bc}] & \\ D_1 = v_{ac} - [v_{ac}] & \\ D_2 = 1 - (v_{bc} - [v_{bc}]) & \text{if } Sign < 0 \end{cases} \quad (15)$$

$$D_3 = |Sign|$$

حال با توجه به بردارهای سوئیچینگ بدست آمده در فضای LVV به محاسبه توابع سوئیچینگ فازها می‌پردازیم. با دقت در شکل ۳-ب می‌توان به سادگی دریافت که در ناحیه I می‌توان تابع  $S_c$  را برابر صفر فرض کرد. با این فرض توابع سوئیچینگ فازها برای سه بردار سوئیچینگ  $S_{abc}$  به صورت معادله (۱۰) بیان می‌شوند.

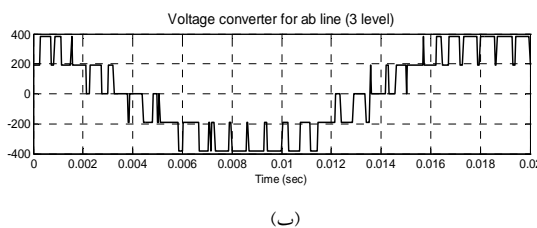
$$S_{abc1} = \begin{cases} s_{a1} = [v_{ac}] \\ s_{b1} = [v_{bc}] \\ s_{c1} = 0 \end{cases} \quad S_{abc2} = \begin{cases} [v_{ac}] + 1 \\ [v_{bc}] + 1 \\ 0 \end{cases} \quad (16)$$

$$S_{abc3} = \begin{cases} [v_{ac}] + 1 \\ [v_{bc}] \\ 0 \end{cases} \quad \text{or} \quad S_{abc3} = \begin{cases} [v_{bc}] + 1 \\ [v_{ac}] \\ 0 \end{cases}$$

انتخاب توابع سوئیچینگ و نسبت وظیفه آنها با استفاده از روش پیشنهادی با نتایج حاصل از روش های متداول SVM، یکسان است که در بخش شبیه سازی با ارائه مثال هایی به این موضوع پرداخته می‌شود. از مزایای روش پیشنهادی، سرعت بالای اجراء، حجم محاسبات کم و تعمیم پذیری آسان آن به مبدل های چند سطحی می‌باشد، به طوری که با افزایش تعداد سطوح، حجم محاسبات مدولاتور ثابت می‌ماند. لازم به ذکر است به علت در نظر گرفتن مناسب متغیرها در این روش، بردارهای محاسبه شده برای پیاده سازی بردار مرجع، حداقل کلیدزنی لازم را فراهم می‌کنند، به طوری که همیشه یک فاز در هر بازه سوئیچینگ دارای تابع سوئیچینگ ثابت می‌باشد.

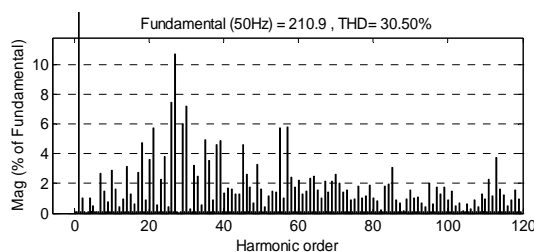
#### ۵- بردارهای افزوده

بردارهای افزوده، بردارهای سوئیچینگ متفاوتی هستند که ولتاژ های خط یکسان ولی با مولفه صفر متفاوت در خروجی مبدل تولید می‌کنند. به علاوه این بردارها دارای ولتاژ فاز یکسانی نیز در خروجی مبدل سه فاز می‌باشند. به عنوان مثال در شکل ۳-ب، بردار  $\begin{bmatrix} 1 \\ 1 \end{bmatrix}$  می‌تواند نتیجه



شکل ۸: ولتاژ خط ab مبدل سه سطحی (الف) و ولتاژ مرجع (ب) ولتاژ مبدل

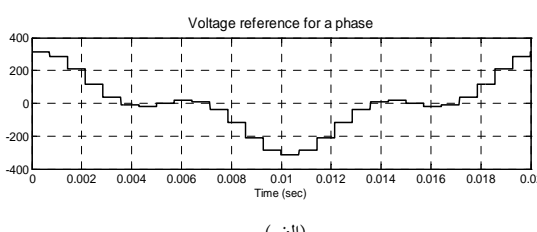
در ادامه سیگنال مرجع دیگری که شامل هارمونیک سوم فرکانس اصلی می‌باشد، در نظر گرفته شده که در معادله (۱۶) آمده است. قابل ذکر است این هارمونیک به گونه‌ای به مولفه اصلی ولتاژ مرجع اضافه شده که توالی صفر ولتاژ، صفر باقی بماند. علت این امر آن است که در ولتاژ خروجی مبدل سه ساقه، مولفه توالی صفر تولید نمی‌شود.



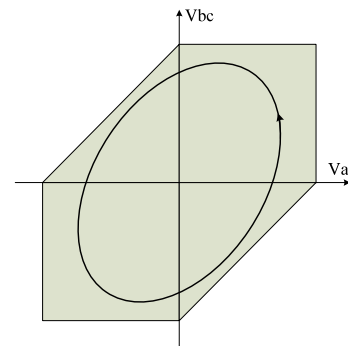
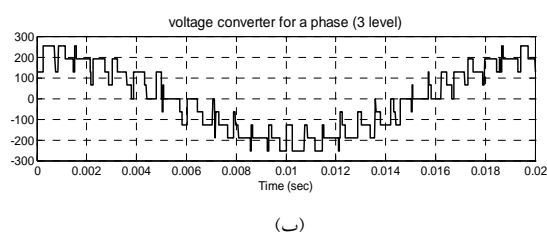
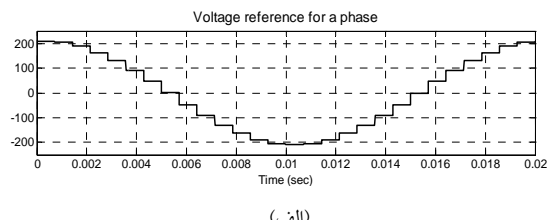
شکل ۹: درصد نسبی هارمونیک های ولتاژ فاز نسبت به فرکانس اصلی برای مبدل سه سطحی

$$\begin{bmatrix} E_{a,ref} \\ E_{b,ref} \\ E_{c,ref} \end{bmatrix} = v_m \begin{bmatrix} \cos(\omega_0 t) + 0.5 \cos(3\omega_0 t) \\ \cos(\omega_0 t - \frac{2\pi}{3}) + 0.5 \cos(3\omega_0 t - \frac{2\pi}{3}) \\ \cos(\omega_0 t + \frac{2\pi}{3}) + 0.5 \cos(3\omega_0 t + \frac{2\pi}{3}) \end{bmatrix} \quad (16)$$

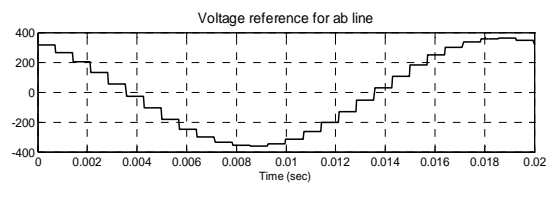
شکل ۱۰-الف و ب و شکل ۱۱-الف و ب به ترتیب ولتاژ فاز a و ولتاژ خط خروجی یک مبدل پنج سطحی به همراه سیگنال مرجعشان را برای ولتاژ مرجع معادله (۱۶) نشان می‌دهند.

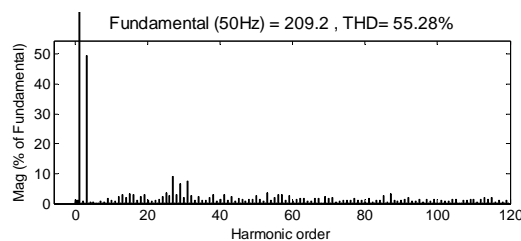


شکل ۷-الف و ب و شکل ۸-الف و ب به ترتیب ولتاژ فاز a و ولتاژ خط خروجی یک مبدل سه سطحی به همراه سیگنال مرجع شان را نشان می‌دهند. در شکل ۹ درصد نسبی هارمونیک های ولتاژ فاز نسبت به فرکانس اصلی برای مبدل سه سطحی، آورده شده است به طوری که دامنه مولفه اصلی ولتاژ فاز برابر ۲۱۱ ولت و THD سیگنال خروجی ۳۰/۵٪ می‌باشد. در این حالت مدولاتور دارای طیفی فرکانسی مناسبی بوده و سیگنال مرجع را با تغییرات عرض پالس خروجی به طور قابل قبولی دنبال کرده است. قابل ذکر است که THD خروجی مدولاسیون SVM نسبت به مدولاسیون‌های دیگر کمتر می‌باشد، از این رو THD سیگنال خروجی روش ارائه شده همانند SVM متداول پایین است.

شکل ۱۱: نمودار مکان هندسی بردار  $\begin{bmatrix} v_{ac} \\ v_{bc} \end{bmatrix}$  برای تولید یک سه فاز متعادل

شکل ۱۱-الف و ب و شکل ۱۲-الف و ب ولتاژ مرجع (الف) ولتاژ مبدل





شکل ۱۲: درصد نسبی هارمونیک های ولتاژ فاز نسبت به فرکانس اصلی برای مبدل پنج سطحی

تکیک SVM دو بعدی متداول دنباله سوئیچینگ مشکل از  $s_1$  ،  $s_2$  و  $s_3$  را تعیین می کند که یکی از آنها یک بردار افزوده است و  $D_1$  ،  $D_2$  و  $D_3$  به ترتیب نسبت های وظیفه آنها می باشند.

$$s_1, s_2, s_3 = 100 / 211,200,210 \quad (16)$$

$$D_1 = 0.227 \quad D_2 = 0.157 \quad D_3 = 0.616$$

به طور مشابه این مثال می تواند به تکیک مدولاسیون پیشنهادی اعمال شود. در معادله (۱۷) ولتاژهای نرمالیزه شده  $v_{ac}$  و  $v_{bc}$  محاسبه شده اند. با توجه به اینکه این دو ولتاژ مثبت هستند، بردار مرجع در ناحیه I قرار دارد و نیازی به انتقال بردار مرجع نمی باشد.

$$\begin{bmatrix} v_{ac} \\ v_{bc} \end{bmatrix} = \begin{bmatrix} 1.773 \\ 0.6165 \end{bmatrix} v_{dc} \quad (17)$$

بردارهای  $v_1$  ،  $v_2$  و  $v_3$  و نیز نسبت های وظیفه آنها با استفاده از متغیر Sign، در معادله (۱۸) تعیین شده اند.

$$v_1, v_2 = 10,21 \quad (18)$$

$$sign = 0.1565 \quad v_3 = 20$$

$$D_1 = 0.227 \quad D_2 = 0.6165 \quad D_3 = 0.1565$$

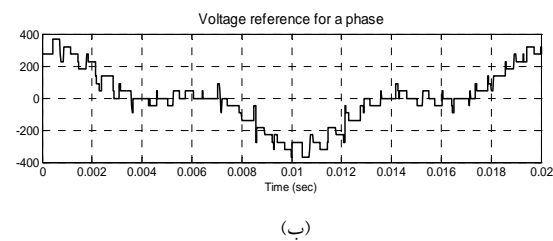
در نتیجه می توان بردارهای سوئیچینگ مربوط به فاز و همچنین بردار افزوده را با توجه به الگوریتم روش پیشنهادی محاسبه کرد.

$$s_{abc1}, s_{abc2}, s_{abc3} = 100 / 211,210,200 \quad (19)$$

با توجه به نتایج بدست آمده مشاهده می شود عملکرد روش پیشنهادی و مدولاسیون SVM متداول مشابه می باشد و نتایج یکسانی به دست می دهدن. اختلاف ناچیز موجود بین روابط بدست آمده ناشی از تقریب به کار گرفته شده می باشد.

## ۵- نتیجه گیری

در این مقاله یک روش مستقیم و سریع برای محاسبه بردارهای سوئیچینگ و نسبت های وظیفه آنها با استفاده از ولتاژهای خط مستقل ارائه گردید. این روش مستقل از تعداد سطوح مبدل چند سطحی است و با افزایش سطوح، حجم محاسبات مدولاتور ثابت می ماند. همچنین

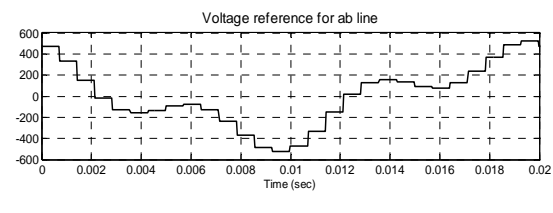


شکل ۱۰: ولتاژ فاز a مبدل پنج سطحی برای مرجع دوم (الف) ولتاژ مرجع (ب) ولتاژ مبدل

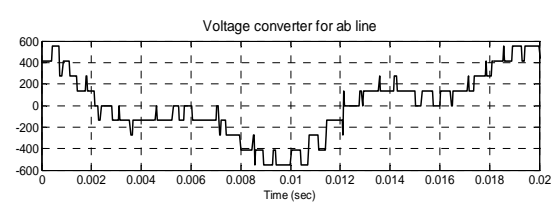
شکل ۱۲ طیف فرکانسی ولتاژ فاز خروجی مبدل پنج سطحی را برای ولتاژ مرجع دوم نشان می دهد در این شکل هارمونیک های نزدیک به مضارب فرکانس سوئیچینگ دامنه قابل توجهی نسبت به سایر هارمونیک های اعوجاجی دارند که می توان با تنظیم فیلتر های پایین گذر اثر آنها را در خروجی مبدل کاهش داد. با توجه به این طیف ملاحظه می شود که ولتاژ فاز مبدل، دامنه هارمونی های موج مرجع را با دقت خوبی در خروجی مبدل تولید کرده است.

برای بررسی بیشتر به بیان یک مثال عددی می پردازیم. ولتاژهای خط مرجع یک مبدل سه فاز در یک لحظه خاص، در معادله (۱۵) داده شده است.

$$\begin{bmatrix} v_{ab} \\ v_{bc} \\ v_{ca} \end{bmatrix} = 1.8 v_{dc} \begin{bmatrix} 0.643 \\ 0.342 \\ -0.985 \end{bmatrix} \quad (15)$$



(الف)



(ب)

شکل ۱۱: ولتاژ خط ab مبدل پنج سطحی برای مرجع دوم (الف) ولتاژ مرجع (ب) ولتاژ مبدل

- theory and DSP-implementation”, IET Electr. Power Appl., 2007, 1, (6), pp. 915–925.
- [4] Lai, J.S., and Peng, F.Z.; “Multilevel converters—a new breed of power converters”, IEEE Trans. Ind. Appl., 1996, 32, (3), pp. 509–517
- [5] Jin-seok Oh, Sun Ho Jin, Jong-Ho Lee.; “Fast Space vector Modulation without NTV Identification for Multilevel Inverters”, 2007 Second IEEE Conference On Industrial Electronics and Application.
- [6] Jose I. Leon, Sergio Vazquez, Juan A. Sanchez, Ramon Portillo, Leopoldo G. Franquelo, Juan M. Carrasco and Eugenio Dominguez; “Conventional Space-Vector Modulation Techniques Versus the Single-Phase Modulator for Multilevel Converters”, IEEE Transactions On Industrial Electronics, Vol. 57, No. 7, July 2010.
- [7] Nikola Celanovic, Dushan Boroyevich.; “A Fast Space-Vector Modulation Algorithm for Multilevel Three-Phase Converters”, IEEE Transactions On Industry Applications, Vol. 37, No. 2, March/April 2001
- [8] J. Pou, P. Rodríguez, D. Boroyevich, R. Pindado, and I. Candela, H.; “Efficient Space-Vector Modulation Algorithm for Multilevel Converters with Low Switching Frequencies in the Devices”, IEEE Trans. Ind., 2005, pp. 1582-1588
- دنباله سوئیچینگ به دست آمده توسط روش پیشنهادی از نظر تعداد سوئیچینگ در هر سیکل بهینه می‌باشد. به علاوه بردارهای افزوده به سادگی با بکارگیری روش ارائه شده قابل محاسبه‌اند. از مزایای این روش می‌توان به استفاده از حداقل فرکانس سوئیچینگ و در نتیجه کاهش تلفات سوئیچینگ، حداکثر بهره‌برداری از لینک DC و قابلیت تعمیم آن به سطوح بالاتر اشاره کرد. با ارائه شبیه سازی روش پیشنهادی بر روی مبدل‌های سه‌سطحی و پنج‌سطحی و مشاهده نتایج مربوط به ولتاژ خروجی مبدل و همچنین طیف هارمونیکی مربوط به آن، صحت روش پیشنهادی بررسی شده است. در آخر با ارائه یک مثال عددی و مقایسه نتایج آن با مقالات پیشین، انتظام این روش با نتایج این مقالات مشاهده شد.
- ### مراجع
- [1] Lai, J.S., and Peng, F.Z.; “Multilevel inverters: a survey of topologies, controls, and applications”, IEEE Trans. Ind. Electron., 2002, 49, pp. 724–738
- [2] Marchesoni, M., and Tenca, P.; “Theoretical and practical limits in multilevel MPC inverters with passive front ends”, 9th European Power Electronics and Applications (EPE'01),Graz, Austria, September 2001, pp. p.1–p.12
- [3] M. Tavakoli Bina.; “Generalized direct positioning approach for multilevel space vector modulation: